

**Авторы:**  
к.т.н. Подшивалин А.Н.<sup>1,2</sup>,  
Исмуков Г.Н.<sup>1</sup>,  
<sup>1</sup> ООО «Релематика»,  
<sup>2</sup>ЧГУ им. И.Н. Ульянова,  
г. Чебоксары, Россия.

Ph.D. Podshivalin A.N.<sup>1,2</sup>,  
Ismukov G.N.<sup>1</sup>,  
<sup>1</sup> Relemaтика, LLC,  
<sup>2</sup>Chuvash State University,  
Cheboksary, Russia.

**Abstract:** the application of time-domain reflectometry (TDR) to overhead transmission line in icing conditions is considered. The extra-attenuation effect

# ОЦЕНКА СОСТОЯНИЯ ЛИНИИ ЭЛЕКТРОПЕРЕДАЧИ СРЕДСТВАМИ АКТИВНОГО ВОЛНОВОГО ОМП

## TRANSMISSION LINE DIAGNOSTICS USING TIME-DOMAIN REFLECTOMETRY

**Аннотация:** рассмотрена задача выявления гололедно-изморозевых отложений (ГИО) методом активного зондирования линии электропередачи. Использован эффект увеличения затухания высокочастотного сигнала в проводах под действием ГИО. Этот эффект носит распределенный по длине характер, что позволяет отличить ГИО от локального повреждения линии. Методика оценки ГИО применена к данным, полученным при опытной эксплуатации устройства активного волнового определения места повреждения на воздушной линии 35 кВ. В известных условиях ГИО оценено затухание для разных участков линии, выявлена неравномерная интенсивность ГИО по расстоянию. Периодическое зондирование линии позволило оценить сезонную скорость нарастания ГИО, полученные данные можно использовать для принятия превентивных мер по очистке линии.

**Ключевые слова:** активное волновое ОМП, гололедно-изморозевые отложения, затухание, высокочастотный канал связи, активное зондирование, определение места повреждения, диагностика, мониторинг.

of high-frequency signal at iced wires is observed. This effect is distributed along line length, so it is possible to differentiate icing from a local line fault. The ice-detection method is applied to the real data obtained by the pilot operation of TDR fault locator at 35 kV overhead line. Under the known iced conditions, the attenuation was estimated for several line sections and irregular ice intensity over distance was revealed. The periodic line diagnostics allows to estimate the seasonal ice growth rate; the obtained data can be taken into account for line clean up decision.

### Введение

Метод активного волнового определения места повреждения (ОМП) основан на анализе реакции линии электропередачи (ЛЭП) на приложенный к одному из ее концов короткий зондирующий импульс [1, 2]. Совокупность возвратившихся из линии отражений обрабатываются согласованным с зондирующим сигналом фильтром и представляют в виде рефлектомограммы [3]. Рефлектомограмма, отображающая интенсивность отражения от элементов ЛЭП, может использоваться для определения неоднородности параметров ЛЭП по длине и идентификации структуры электрической сети [4]. Изменение оцениваемых параметров во времени свидетельствует об изменениях в ЛЭП, требующих внимания при эксплуатации.

Изменения выявляют сравнением рефлектомограмм, измеренных в разных состояниях линии: в предполагаемом нормальном и в оцениваемом режимах [1]. Этот метод успешно применен для оценки расстояния до короткого замыкания линий среднего

напряжения [5]. В статье исследован продолжительный опыт зондирования ЛЭП с изолированной нейтралью. Собрана и представлена статистика отражений, полученных в условиях однофазного замыкания на землю (ОЗЗ), а также в осенне-зимний период, когда на линии были зарегистрированы опасные ГИО. Реальная величина отложений фиксировалась службой линий при очистке в 2022–2023 гг. Фотография одного из случаев на рис. 1 предоставлена эксплуатирующей организацией.



Рис. 1. ГИО на фазных проводах наблюдаемой линии

### Схема и портрет ЛЭП

Опытный образец устройства активного волнового ОМП на платформе ТОР 300 установлен для наблюдения воздушной ЛЭП (ВЛ) напряжением 35 кВ протяженностью 39,22 км. Подключение устройства выполнено с применением специально смонтированного высокочастотного присоединения к одной из фаз линии. Наблюдаемая ВЛ выполнена однотипными опорами ПС110-11 с применением угловых опор в местах изменения направления трассы и переходов через препятствия. На расстоянии 19,8 км от подстанции расположена отпаечный трансформатор, имеющий высокий коэффициент отражения зондирующего сигнала [6]. За время опытной эксплуатации устройства накоплена база рефлектомограмм ВЛ в различных условиях и режимах. Одна из них, полученная в типичном нормальном режиме, показана на рис. 2 кривой 1. В отличие от группы пассивных волновых методов [7, 8, 9], метод активного волнового ОМП оперирует искусственно сформированными зондирующими импульсами. Распространяясь по однородной ВЛ, импульсы отражаются и преломляются в точках изменения волнового сопротивления электрической сети. Устройство регистрирует задержку по времени и амплитуду отражения и соотносит ее с расстоянием до точки отражения.

На рис. 2 наиболее различимы отражения от сосредоточенных неоднородностей ВЛ: повороты трассы, транспозиция проводов, отпайка. Их местоположение уточнено с использованием картографических данных и паспорта линии.

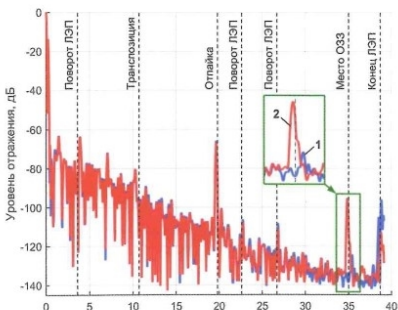


Рис. 2. Рефлектомограммы неповрежденной (кривая 1) и поврежденной (кривая 2) лЭП

### Наблюдение поврежденной ЛЭП

Опытное устройство предназначено для выявления факта повреждения и определения его местоположения. Выявление отклонения портрета от ранее записанного образа производится по наиболее раннему (с наименьшим расстоянием  $x$ ) превышению заданного порога функцией  $D(x)$ :

$$D(x) = R(x) - R_0(x),$$

где  $R(x)$  и  $R_0(x)$  – функции амплитудных рефлектомограмм в сравниваемых режимах.

При ОЗЗ измерена рефлектомограмма, показанная на рис. 2 кривой 2. Как видно, отличие значений в точке 35,0 км составило более 20 дБ, что указывает на повреждение линии в этом месте. Дополнительная ветвь, появляющаяся в схеме линии при ОЗЗ, – структурное изменение ЛЭП, которое дает значительное отражение, соизмеримое с отражением от конца наблюдаемого объекта.

При ОЗЗ в различных точках  $x$ , линии наблюдались значимые величины  $D(x)$  от 15 до 25 дБ, а погрешность ОМП не превышала 0,3 км. При  $x > x_f$  функция  $D(x)$  демонстрирует искусственно сформированными зондирующими импульсами. Распространяясь по однородной ВЛ, импульсы отражаются и преломляются в точках изменения волнового сопротивления электрической сети. Устройство регистрирует задержку по времени и амплитуду отражения и соотносит ее с расстоянием до точки отражения. На рис. 2 наиболее различимы отражения от сосредоточенных неоднородностей ВЛ: повороты трассы, транспозиция проводов, отпайка. Их местоположение уточнено с использованием картографических данных и паспорта линии.

Таким образом, структурные изменения ЛЭП отражаются на рефлектомограмме в виде локального повышения уровня отражения, а устройство успешно выявляет факт их возникновения и местоположение путем сравнения рефлектомограмм поврежденной и неповрежденной сети.

### Наблюдение гололедных образований

Дополнительная функция опытного устройства состоит в диагностике и оценке интенсивности ГИО на ВЛ. Влияние ГИО проявляется главным образом в повышении затухания [11] и увеличении электрической длины ЛЭП за счет удлинения проводов под дополнительной механической нагрузкой [12, 13]. Указанные эффекты приводят к уменьшению амплитуды и увеличению времени возврата отраженного от неоднородностей ЛЭП сигнала в устройство активного волнового ОМП.

Оценка удлинения ВЛ при ГИО выполнена в [12]. Удлинение проводов в пролете

**Keywords:** time-domain reflectometry, traveling-wave fault location, conductor icing, attenuation, high-frequency communication channel, fault location, diagnostics, monitoring.



Подшивалин  
Андрей Николаевич  
В 2004 г. окончил ЧГУ им. И.Н. Ульянова, кафедра ТОЭ и РЗА. В 2005 г. в ЧГУ им. И.Н. Ульянова защитил кандидатскую диссертацию на тему «Метод информационного анализа и его приложение к определению места повреждения и дистанционной защите линий электропередачи». Заведующий отделом лаборатории ОМОН ОАО «Релематика». Доцент кафедры ТОЭ и РЗА ЧГУ им. И.Н. Ульянова.



Исмуков  
Григорий Николаевич  
В 2012 г. окончил магистратуру ЧГУ им. И.Н. Ульянова, кафедра ТОЭ и РЗА. Инженер-исследователь I категории ОАО «Релематика».

может достигать 0,3% [14]. Этот эффект целесообразно учитывать, например, при оценке удаленности по-враждений в задаче ОМП на фоне ГИО.

В процессе опытной эксплуатации устройства наблюдалось несколько периодов образования значительных ГИО на проводах ВЛ, что позволило оценить их эффекты на рефлектоGRAMМАХ. Вносимое ГИО затухание  $\alpha$  зависит от ряда факторов [11], в том числе от частоты передаваемого сигнала. В рассматриваемом устройстве испускаются импульсы широкого спектра, а амплитуда рефлектоGRAMМЫ определяется совокупной характеристистикой по всему спектру. На основе данных эксплуатации о температуре окружающего воздуха, толщине стеки ГИО  $d_{\text{ГИО}} = 20$  мм в предположении цилиндрической формы проводника выделена зависимость величины затухания от частоты сигналов, пример одной из них приведен на рис. 3 в соответствии с [11]:

$$\alpha = K(f, Z, T) \lg(1 + \frac{d_{\text{ГИО}}}{r_p}), \quad (1)$$

где  $K(f, Z, T)$  – функция частоты сигнала  $f$ , волнового сопротивления линии  $Z$  и температуры льда  $T$ , значения которой заданы на основе экспериментальных и аналитических исследований [11];

$r_p$  – радиус провода, мм.

В полосе частот наибольшей энергии зондирующего импульса устройства ОМП от  $f_1$  (несколько сотен килогерц) до  $f_2$  (несколько мегагерц) получены усредненные значения  $\alpha_{\text{расч сп}}$  по формуле:

$$\alpha_{\text{расч сп}} = \frac{1}{f_2 - f_1} \int_{f_1}^{f_2} \alpha(f) df.$$

Уточненные значения  $\alpha_{\text{расч}}$  получены с использованием огибающей спектральной плотности  $A(f)$ :

$$\alpha_{\text{расч}} = \frac{\int_{f_1}^{f_2} A(f) \alpha(f) df}{\int_{f_1}^{f_2} A(f) df}.$$

В табл. 1 приведены исходные данные и расчетные затухания для условий двух случаев из эксплуатации.

На рис. 4 показаны рефлектоGRAMМЫ линии до и после образования ГИО на проводах. Видимость ВЛ ограничена затуханием в линии: уже на расстоянии 15 км величина отражений от основных конструкций ЛЭП опускается до уровня шумов. Однако интенсивные отражения от места отпайки позволяют расширить зону наблюдения до 19,7 км.

Таблица 1. Расчетные затухания, вносимые ГИО

№ измерения	$d_{\text{ГИО}}$ мм	$T, ^\circ\text{C}$	$\alpha_{\text{расч}}$ дБ/км
1	70	-6,5	2,01
2	20	-7,0	1,11

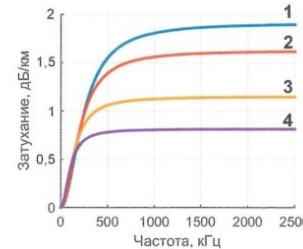


Рис. 3. Теоретическое затухание, вносимое ГИО, в зависимости от частоты сигнала при температуре 0 °C (кривая 1), -3 °C (кривая 2), -6 °C (кривая 3), -10 °C (кривая 4).

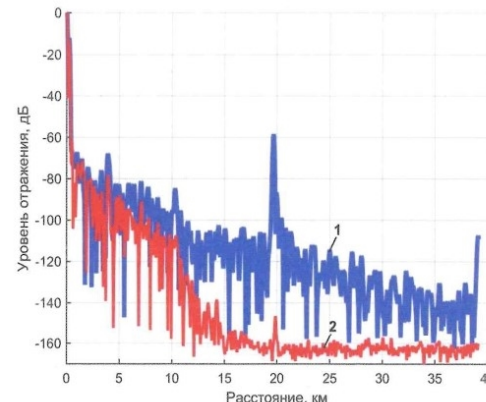


Рис. 4. РефлектоGRAMМЫ линии до (кривая 1) и после (кривая 2) образования ГИО на проводах

Поскольку величина затухания зондирующего сигнала в неповрежденной ВЛ в общем случае неизвестна, то для оценки дополнительного затухания при ГИО предложено использование приращения отклонения текущей рефлектоGRAMМЫ от рефлектоGRAMМЫ без ГИО, то есть разности значений дефектограммы на концах рассматриваемого участка длиной  $x_d$ :

$$\alpha_{\text{изм}} = \frac{D(x + x_d) - D(x)}{2x_d}. \quad (2)$$

Величина (2) дает усредненную удельную оценку с учетом двойного затухания при прямом и обратном распространении сигнала по участку ВЛ. Для определения достоверности оценки (2) выполнено дробление наблюданного участка на  $n$  участков меньшей длины, где длина каждого участка:

$$x_k - x_{k-1} = \frac{x_d}{n}, k = 1, 2, \dots, n.$$

Тогда оценка дополнительного затухания каждого участка оценивается как

$$\alpha_{\text{изм}} = \frac{D(x_k) - D(x_{k-1})}{2(x_k - x_{k-1})}.$$

В табл. 2 показаны оценки  $\alpha_{\text{изм}}$  для различной степени дробления наблюданного участка для рефлектоGRAMМЫ по рис. 4. Видно, что при  $n \leq 8$  оценка неоднородна и требует дополнительного уточнения. Это отчасти может объясняться вариацией толщины стеки ГИО вдоль ВЛ: такой факт отмечен службой линии, проводившей очистку проводов. Для практических целей имеет значение оценка гололеда на протяженных участках линии, а потому выполнена оптимизация числа и границ участков для достижения приемлемого качества оценки затухания. В данном случае оказалось удобным принять в качестве границ участков характеристические точки линии в соответствии с табл. 3.

Таблица 2. Оценка  $\alpha_{\text{изм}}$

$n$	$\alpha_{\text{изм1}}$ дБ/км	$\alpha_{\text{изм2}}$ дБ/км	$\alpha_{\text{изм3}}$ дБ/км	$\alpha_{\text{изм4}}$ дБ/км	$\alpha_{\text{изм5}}$ дБ/км	$\alpha_{\text{изм6}}$ дБ/км	$\alpha_{\text{изм7}}$ дБ/км	$\alpha_{\text{изм8}}$ дБ/км
1	2,22	-	-	-	-	-	-	-
2	0,73	3,71	-	-	-	-	-	-
3	1,25	1,32	4,09	-	-	-	-	-
4	0,53	0,93	3,12	4,31	-	-	-	-
5	1,28	0,58	1,20	2,48	5,56	-	-	-
6	1,51	0,99	-0,32	2,96	2,45	5,73	-	-
7	0,45	1,14	0,55	2,38	1,79	2,76	6,47	-
8	-0,20	1,26	0,44	1,41	3,26	2,98	0,09	8,52

Рис. 5. Удельное затухание по участкам ВЛ

Накопленные устройством данные дают возможность оценить скорость нарастания ГИО. В табл. 5 представлена вероятная скорость  $\beta$  изменения удельного затухания по участкам линии 1, 2 и 3, а также эквивалентная скорость  $\gamma$  роста стеки ГИО на проводах для этих же участков.

Таблица 5. Оценка скорости изменения затухания по участкам линии

Дата	$\beta_1$ дБ/км/час	$\gamma_1$ мм/час	$\beta_2$ дБ/км/час	$\gamma_2$ мм/час	$\beta_3$ дБ/км/час	$\gamma_3$ мм/час
5	0,062	0,52	0,120	1,07	0,165	1,77
10	0,016	0,23	0,016	0,25	0,021	0,23
19	0,012	0,24	0,050	0,48	0,040	0,51

Видно, что в период гололеда целесообразно производить измерения с периодом порядка одного часа, а при превышении определенного порога затухания немедленно выполнять очистку проводов от ГИО [10].

Оценка толщины стеки ГИО  $d_{\text{ГИОист}}$  возможна на основе (1) при известной функции  $K(f, Z, T)$ . Зависимость функции  $K$  от частоты  $f$  и волнового сопротивления линии  $Z$  носит дробно-рациональный характер. Более сложная температурная зависимость определяется критической частотой, соответствующей максимуму тангенса угла диэлектрических потерь в слое льда. В [11] эта зависимость задана в табличном виде для ограниченного набора температур. Для получения непрерывных характеристик выполнена аппроксимация температурной зависимости полиномом второй степени, получена оценка  $\hat{K}(f, Z, T)$ . Относительная погрешность оценки для пяти табличных значений температуры в диапазоне от -20 °C до 0 °C не превышает 3,7%, что указывает на успешность аппроксимации. Результирующая оценка толщины стеки ГИО для произвольной температуры выполняется на основе уравнения:

$$d_{\text{ГИОист}} = r_p (10^{\alpha_{\text{изм}} / \hat{K}(f, Z, T)} - 1).$$

Кривые на рис. 6 показывают возможный диапазон толщины стеки гололеда при заданном удельном затухании. Расчетная величина  $d_{\text{ГИОист}}$  представлена из предположения температуры -6 °C. Если известна иная

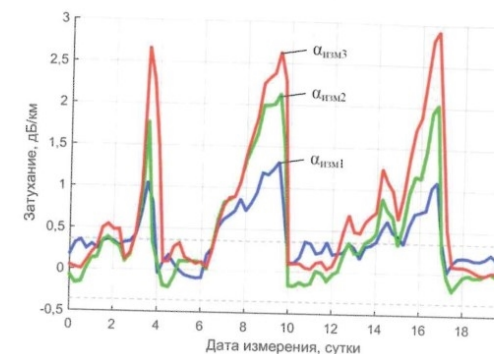


Таблица 3. Опорные точки участков гололеда

Номер точки $k$	Расстояние от начала ВЛ $x_k$ , км	Описание
0	0	Место измерения
1	3,9	Поворот ЛЭП
2	10,3	Трансформатор
3	19,7	Отпайка

По полученным в эксплуатации данным выполнена оценка  $\alpha_{\text{изм}}$  на длительном интервале времени. Соответствующие величины представлены на рис. 5 с дискретностью 6 часов. Прослеживаются 3 периода гололеда, завершившиеся на 4, 10 и 17 сутки наблюдения. Затухание вдоль линии неоднородно во все периоды. Измеренные затухания на рис. 5 имеют тот же порядок, что и теоретические затухания табл. 1.

Оценен и представлен в табл. 4 разброс оценок удельных затуханий  $\Delta\alpha_{\text{изм}}$  на участках ЛЭП. Оценки получены в условиях относительной стабильности параметров ВЛ в летний и весенний периоды без ГИО с длительностью наблюдения не менее 6 дней. Видно, что разброс не превысил 0,36 дБ/км.

Таблица 4. Оценка уровня отражения от неоднородностей ВЛ

$\Delta\alpha_{\text{изм1}}$ дБ/км	$\Delta\alpha_{\text{изм2}}$ дБ/км	$\Delta\alpha_{\text{изм3}}$ дБ/км
0,23	0,36	0,26

Измеренный разброс оценок можно отнести к инструментальной погрешности оценки дополнительного затухания, вносимого ГИО на проводах ВЛ. Эти данные изображены пунктирной линией на рис. 5. Отметим, что выявленное затухание в условиях ГИО кратно превышает эти пороги.

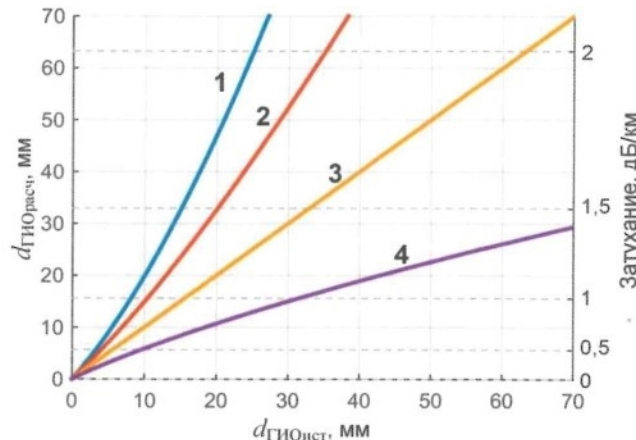


Рис. 6. Оценка толщины стенки ГИО при температуре 0 °С (кривая 1), -3 °С (кривая 2), -6 °С (кривая 3), -10 °С (кривая 4)

температура, то истинная величина стенки гололеда  $d_{\text{гионст}}$  может быть рассчитана по соответствующему графику с высокой точностью.

## Выводы

Метод активного зондирования позволяет отслеживать не только повреждения ЛЭП, но и образование ГИО. Разный характер этих явлений позволяет устройству ОМП в первом случае определять точную координату повреждения, а во втором – оценивать толщину стенки ГИО на отдельных участках ЛЭП. Анализ данных, зарегистрированных при активном зондировании, дает возможным контроль ГИО по всей протяженности линии, без пропусков, характерных для датчиков на физическом принципе (например, тензометрическом). Непрерывный дистанционный мониторинг линии позволяет оценивать и прогнозировать гололедную на-

грузку на ЛЭП для принятия превентивных мер по ее очистке.

## Литература:

- Куликов А.Л. Дистанционное определение мест повреждений ЛЭП методами активного зондирования. – М.: Энергоатомиздат, 2006. – 148 с.
- Догадкин Д., Марин Р., Ширшова Е., Исмуков Г., Куликов А., Линт М., Подшивалин А. Устройство автоматического повторного включения кабельно-воздушных линий электропередачи мегаполисов // Электроэнергия. Передача и распределение. – 2016. – № 5. – С. 98-103.
- P.Smith, C.Furse, J.Gunther. Analysis of spread spectrum time domain reflectometry for wire fault location // IEEE Sensors Journal. 2005. Vol. 5. pp. 1469-1478.
- V.Taylor, M.Faulkner. Line monitoring and fault location using spread spectrum on power line carrier // IEE Proc.-Gener. Transm. Distrib. 1996. Vol. 143. pp. 427-434.
- Куликов А.Л., Мисриханов М.Ш., Петрухин А.А. Определение мест повреждения ЛЭП 6-35 кВ методами активного зондирования. – М.: Энергоатомиздат, 2009. – 164 с.
- Закамский Е.В. Локационный метод обнаружения повреждений в электрических распределительных сетях напряжением 6 - 35 кВ: дис. ... кандидата технических наук: 05.09.03 / Казань, 2004. – 168 с.
- Лачугин В.Ф., Ятиков И.М. Релейная защита линий электропередачи с использованием контроля распространения электромагнитных волн // Релейная защита и автоматизация. – 2023. – № 4 (53). – С. 46-51.
- Лачугин В.Ф. Волновые методы определения места повреждения на воздушных линиях электропередачи // Релейная защита и автоматизация. – 2023. – № 1 (50). – С. 58-61.
- Федоров А.О., Петров В.С., Ильин А.А. Одностороннее волновое определение места повреждения на основе сверточной нейронной сети // Релейная защита и автоматизация. – 2023. – № 3 (52). – С. 48-53.
- Булычев А.В., Александров А.С. Управление удалением гололедно-изморозевых отложений на проводах воздушных линий электропередачи // Релейная защита и автоматизация. – 2022. – № 3 (48). – С. 24-31.
- Костенко М.В., Перельман Л.С., Шкарин Ю.П. Волновые процессы и электрические помехи в многопроводных линиях высокого напряжения. – М.: Энергия, 1973. – 271 с.
- Минулиян Р.Г., Губаев Д.Ф. Обнаружение гололедных образований на линиях электропередачи локационным зондированием. – Казань: Казан. гос. энерг. ун-т, 2010. – 207 с.
- Касимов В.А. Метод локационного мониторинга гололедообразования и повреждений на воздушных линиях электропередачи и программно-аппаратные комплексы для его реализации: дис. ... д-ра технических наук: 05.11.13 / КГЭУ. – Казань, 2019. – 395 с.
- Губаев Д.Ф. Обнаружение гололеда на линиях электропередачи локационным методом: дис. ... к-та технических наук: 05.11.13 / КГЭУ. – Казань, 2009. – 186 с.